

ČESkoslovenská
Socialistická
Republika
(19)



ÚŘAD PRO VYNÁLEZY
A OBJEVY

POPIS VYNÁLEZU K PATENTU

196235

(11) (B2)

(51) Int. Cl. 3
C 21 D 1/22

(22) Přihlášeno 31 01 69
(21) (PV 643-69)

(32) (31) (33) Právo přednosti od 31 01 68
(5365) Japonsko

(40) Zveřejněno 29 06 79
(45) Vydáno 15 12 82

(72) (73)
Autor vynálezu
a současně
majitel patentu

SUZUKI KAZUHISA a SHIMOHAMA TOSHIKAZU,
KOBE (Japonsko)

(54) Způsob tepelného zpracování svařitelných konstrukčních ocelí
o vysoké pevnosti v tahu

1

Vynález se týká způsobu tepelného zpracování svařitelných konstrukčních ocelí o vysoké pevnosti v tahu, o složení v % hmotnostech 0,05 až 0,15 % uhlíku, 0,05 až 0,6 procenta křemíku, 0,5 až 1,4 % manganu, 0,1 až 0,8 % molybdenu, přičemž obsah manganu a molybdenu je v rozmezí 1,1 až 1,7 % a které dále obsahují 0,01 až 0,09 % hliníku a 0,001 až 0,15 % titanu, jednotlivě nebo ve vzájemné kombinaci a dále obsahují stopy až 2,0 % niklu, stopy až 0,12 % vanadu, stopy až 0,04 % niobu, stopy až 0,005 % boru, jednotlivě nebo ve vzájemné kombinaci, zbytek železo a nečistoty z tavení.

Jak je ukázáno v tabulce 1, získává se ocel o vysoké pevnosti v tahu pro svařované konstrukce tím, že se zakalí a popouští tak, aby se zvýšila její pevnost v tahu a její vrubová houževnatost, čímž její mikrostruktura představuje popouštěný martenzit.

Pevná ocel takto kalená a popouštěná obvyklými metodami má vysoký poměr meze průtažnosti k pevnosti v tahu, tj. vysoký průtažný poměr v důsledku toho, že má popouštěnou martenzitickou strukturu, takže její deformace a energie po lomu je poměrně malá, což vyvolává malou odolnost vůči soustředěným namáháním na konstrukcích z takových ocelí vytvořených.

Má-li se procento bezpečnosti vyhodnotit

2

s ohledem na poměr meze průtažnosti a pevnosti, je nezbytné zajistit vysoké procento bezpečnosti tím, že se udržený poměr zvýší. Když se poměr meze průtažnosti a pevnosti v tahu zvyšuje, musí být jednak sníženo přípustné namáhání takové ocele a jednak se musí zvětšit tloušťka desek u svařovaných ocelových konstrukcí, které se tak stanou těžkými.

Taková vysoká pevná ocel musí být pouštěna při vysokých teplotách, například nad 600 °C, aby se zvýšila její vrubová houževnatost. V důsledku tohoto chování ocele je poměr legovaných prvků v ní obsažených příliš vysoký na její pevnost. Jestliže se totíž zvyšuje pevnost ocele, zvyšuje se také uhlíkový ekvivalent, který bude nadále označován jako C ekv. a je roven C + 1/24 Si + 1/6 Mn + 1/40 Ni + 1/5 Cr + 1/4 Mo + 1/14 V. Když se zvyšují sklonky ke tvrdnutí v pásmu zasaženém svářecím teplem, zvyšuje se tedy také citlivost na vytváření prasklin ve svaru, a to tak, že předebehřívací teploty pro takovou ocel musí být zvýšeny v míře ukázané v tabulce 1, aby se zabránilo tvoření prasklin ve svaru.

Shora uvedené závady odstraňuje u ocele shora uvedeného složení způsob zpracování podle vynálezu, jehož podstata spočívá v tom, že se ocel zahřívá na teplotu 850 °C

až 980 °C nad bodem přeměny A₃, ochladí se v časovém období 3 až 50 sekund z teploty 800 na 500 °C a potom se po dobu nejméně 20 sekund, maximálně 600 sekund, plynule chladi z teploty 500 na 200 °C.

Tím se vytvoří bainitická struktura poskytující ocel s vysokou pevností v tahu pro svářené konstrukce.

Podle dalšího provedení způsobu podle vynálezu se ocel pak popouští při teplotách 500 až 680 °C pod bodem přeměny A₁.

Vynálezem je vyvrácen dosavadní pozna-

tek, že je nesnadné vyrobit ocel s vysokou pevností v tahu v rozsáhlém pevnostním intervalu v důsledku předpokládané nízké vrubové houževnatosti bainitické struktury; proto je vynález velmi důležitý pro výrobu nových ocelí bainitické struktury s vysokou pevností v tahu.

Ocelí s vysokou pevností v tahu vynovených způsobem podle vynálezu lze používat pro hotovení ocelových desek, výrobků z kujné ocele, lité ocele, tvarové ocele, ocelových potrubí, ocelových tyčí a drátů.

TABULKA 1

Ocel	Tepelné zpracování	C	Cr	Mn	P	S	Ni
NH 60	QT ¹⁾	.15	.47	1.28	.020	.010	.06
HT 70	QT ¹⁾	.13	.37	.90	.010	.016	.86
HT 80	QT ¹⁾	.13	.34	.82	.015	.008	1.01
HT 100	QT ¹⁾	.16	.27	.78	.015	.010	1.22

Tabulka 1 — pokračování

Ocel	Cr	Mo	V	Cu	C ekv. ²⁾	Mez průtažnosti (MPa)	Pevnost v tahu (MPa)	Prodloužení (%)
NH 60	.25	—	.06		.44	552	641	18,2
HT 70	.36	.33			.47	667	747	26,5
HT 80	.51	.40		.25	.51	754	812	23,5
HT 100	.62	.56	.05	.25	.60	948	993	20,5

Tabulka 1 — pokračování

Ocel	Oblasti redukce (%)	Absorbovaná energie v E (J)	Teplota předeřívání pro zamezení prasknutí kořenu svaru °C
NH 60	68,2	141	100
HT 70	68,1	117	150
HT 80	66,5	76	150
HT 100	65,6	82	250

1) Ochlažení ve vodě a popouštění.

2) C ekv. = C + 1/24 Si + 1/6 Mn + 1/40 Ni + 1/5 Cr + 1/4 Mo + 1/14 V.

Způsob podle vynálezu bude nyní blíže vysvětlen v souvislosti s výkresy, kde na obr. 1 je graf znázorňující vztah mezi množstvím Mn + Mo v hmotnostních % a mezi průtažností a pevností v tahu v MPa u ocele vyrobené způsobem podle vynálezu, na obr. 2 je graf znázorňující vztah mezi množstvím Mn + Mo v hmotnostních % a vrubovou houževnatostí ocele vyrobené způsobem podle vynálezu v J, na obr. 3 je transformační diagram ocele při plynulém chlazení po tepelném zpracování podle vynálezu, na obr. 4 je graf znázorňující vztah mezi množstvím Mn + Mo v hmotnostních % a dobou chlazení ocele podle vynálezu, na obr. 5 je diagram

znázorňující vztah mezi uhlíkovým ekvivalentem a mezi průtažností, pevností v tahu a poměrem průtažnosti u ocele zpracované způsobem podle vynálezu ve srovnání s kallenou a popouštěnou ocelí běžného typu a obr. 6 znázorňuje mikrostrukturu ocele podle vynálezu.

Ocel podle vynálezu sestává v % hmotnostních z 0,05 až 0,15 % C, 0,05 až 0,6 % Si, 0,5 až 1,4 % Mn, z 0,1 až 0,8 % Mo, dále z 0,01 až 0,09 % Al a 0,001 až 0,15 % Ti a kromě toho v případě vysoké vrubové houževnatosti ještě z méně než 2,0 % Ni a dále, má-li být zvýšena pevnost v tahu bez snížení vrubové houževnatosti, obsahuje ještě jeden nebo dva z těchto prvků v % hmotnosti: stopy až 0,12 % V, stopy až 0,04 % Nb a stopy až 0,005 % B.

V tomto případě při obsahu C vyšším než 0,15 hmotnostního % může se ukázat, že pásmo zasažené svářecím teplem je značně

tvrdé, takže snadno může docházet k prasklinám ve svaru a martenzitická struktura se může vytvořit v důsledku tepelného zpracování, takže je výhodné, když se obsah C sníží pod 0,15 hmotnostní % a současně je větší než 0,05 hmotnostní % za účelem zvýšení pevnosti v tahu.

Když obsah Si je v % hmotnosti vyšší než 0,6 %, zhorší se svařitelnost oceli, přičemž současně je třeba většího obsahu Si než 0,05 % za účelem výroby oceli, takže správný rozsah obsahu Si je 0,05 — 0,6 %.

Je známo, že Mn je legovací prvek podporující pevnost v tahu u oceli, avšak příliš velký obsah Mn vyvolává ztvrdnutí pásmu zasaženého svářecím teplem a tedy zvyšuje sklon oceli k tvoření prasklin ve svaru podobně jako obsah C. Aby tedy se udržela vhodná pevnost v tahu, musí být obsah tohoto prvku v % hmotnosti v rozmezí více než 0,5 % a méně než 1,4 % z hlediska svařitelnosti.

Obdobně bude obsah Mo z hlediska pevnosti v tahu vyšší než 0,1 % a z hlediska svařitelnosti menší než 0,8 %.

Pokud jde o složení oceli s vysokou pevností v tahu podle vynálezu, je známo, že prvky Mn a Mo jsou důležité pro vyvolání bainitické struktury oceli s vysokou pevností v tahu a s vysokou vrubovou houževnatostí.

V této souvislosti znázorňuje obr. 1 vztah mezi množstvím Mn + Mo a mezi pevností v tahu vyvolanou tepelným zpracováním, přičemž úsečka označuje v hmotnostních % obsah Mn + Mo a pořadnice označuje v MPa mezi průtažnosti a pevnost v tahu oceli, čímž ozrejmuje jejich vztah. Přitom úsečky proložené kroužky značí pevnost v tahu a úsečky proložené trojúhelníčky značí mezi průtažnosti.

Z obr. 1 vyplývá jednoznačně, že množství Mn + Mo musí být větší než 1,1 hmotnostní %, aby se dosáhlo pevnosti v tahu vyšší než 588 MPa.

Obr. 2 znázorňuje vztah mezi množstvím Mn + Mo v hmotnostních % a vrubovou houževnatostí, přičemž na úsečce je v hmotnostních % vyznačeno množství Mn + Mo a pořadnice udává v J absorbovanou energii oceli při 0 °C, zjištěnou Charpyho vrubovou zkouškou rázem o hloubce vrubu V 2 mm. Ukazuje se, že množství Mn + Mo musí být menší než 1,7 hmotnostní %, aby se dosáhlo hodnoty vyšší než 47 J při 0 °C.

Z těchto výsledků na obr. 1 a 2 vyplývá, že se obsah Mn + Mo zvolí větší než 1,1 hmotnostní % a menší než 1,7 hmotnostní % podle ostatního složení oceli.

Pokud jde o prvek Al, je množství v % hmotnosti 0,01 — 0,09 % nutné pro odrysličení a vytvoření jemných krystalických zrn při výrobě oceli, avšak více než 0,09 % vede ke snížení vrubové houževnatosti v rozporu s původním požadavkem, a menší obsah než 0,01 % by byl naprostě neúčinný.

Jelikož Ti má téměř stejný účinek jako Al, lze Ti užít jako náhražky pro Al pro účely odrysličení a vytvoření jemných krystalických zrn. V tomto případě se dosáhne nejlepšího účinku Ti v rozmezí 0,001 — 0,15 %. Je také možné užít kombinace prvků Al a Ti.

I když Ni je účinný prvek pro zvýšení vrubové houževnatosti, jeho příliš velký obsah je nehostoprádný, takže jeho obsah bude u oceli s vysokou pevností v tahu podle výnalezu menší než 2 hmotnostní %.

Příslada prvků V, Nb a B v malých množstvích je účinná pro zvýšení pevnosti v tahu a lze tedy jeden nebo dva z těchto prvků do oceli přidat, pokud jejich obsah zůstane pod množstvím, které nevyvolá značnější snížení vrubové houževnatosti. V tomto případě bude množství těchto prvků v rozmezí v % hmotnosti: méně než 0,12 % V, méně než 0,04 % Nb a méně než 0,005 % B, jak vyplýne z příkladu provedení.

Kromě shora uvedených složek jsou v oceli zřejmě přítomny některé nevyhnutelné nečistoty.

Nyní budou podrobně vysvětleny podmínky tepelného zpracování oceli s vysokou pevností v tahu podle vynálezu.

Obr. 3 znázorňuje transformační diagram CCT při plynulém chlazení po tepelném zpracování na 900 °C pro ocel podle vynálezu obsahující v % hmotnosti 0,12 % C, 0,27 % Si, 0,3 % Mo, 1,05 % Mn a 0,018 % Al.

V obr. 3 je na úsečce vyznačena doba chlazení s 800 °C, v sekundách, při logaritmickém dělení, a pořadnice označuje teplotu ve °C, v lineárním dělení, ukazující přeměnu oceli, přičemž A je austenitická oblast, F je počáteční feritická oblast, P je perlitická oblast, B je bainitická oblast a M je martenzitická oblast. Přitom přímka a — b — c znázorňuje počáteční bod martenzitické přeměny. Přímka d — e znázorňuje koncový bod martenzitické přeměny a křivka e — f znázorňuje přibližně koncový bod bainitické transformace.

V tomto vyobrazení je chladicí křivka 1 kritická křivka chladnutí pro vytvoření počáteční feritické struktury, 2 je kritická křivka chladnutí pro všechny struktury přecházející do bainitické a 3 je kritická chladicí křivka pro přechod do martenzitické struktury.

Z tohoto diagramu doby chlazení proti teplotě je zřejmé, že se vytvoří počáteční ferit, když chlazení probíhalo po křivce pomalejší než je křivka chladnutí 1, takže se pevnost v tahu i vrubová houževnatost příslušně sníží.

Celá struktura se přemění na martenzitickou při chlazení rychlejším než je křivka chladnutí 3, takže se udrží pevnost v tahu, avšak značně se sníží vrubová houževnatost.

Při chlazení mezi křivkami 2 a 3 se vytvoří smíšená struktura bainitu a martenzitu, takže nelze očekávat zvýšení vrubové

houževnatosti, jelikož je přimíšena martenitická struktura.

Aby se vyhovělo oběma podmínkám jak co do vysoké pevnosti v tahu, tak i co do vrubové houževnatosti zároveň, je třeba zajistit vytvoření jemné bainitické struktury.

Pokud jde o podmínky chlazení za tímto účelem, musí chlazení probíhat v rozsahu křivek chladnutí 1 a 3 v případě ochlazování na 500 °C v blízkosti teploty ekvivalentní martenitickému bodu.

Chladicí doba s 800 °C na 500 °C musí být tedy v rozmezí od S₃ do S₁ sekund. Je známo, že potom chlazení od 500 °C níže rozhodně ovlivňuje transformaci martenitu, takže musí být provedeno v S₂ sekundách jako doba chlazení s 500 °C na 200 °C se zřetelem na kritickou křivku chladnutí 2, kde se netvoří žádný martenit, což znamená, že se martenit nevytvorí, když se chlazení provede ve víc než S₂ sekundách s teploty 500 °C na teplotu 200 °C.

značka oceli	C	Si	Mn	P	S	Mo	Al	Ti	$\frac{\text{Mn} + \text{Mo}}{\text{hmot.}}$ %	S ₁ [s]	S ₂ [s]	S ₃ [s]
A	.13	.26	.90	.012	.016	.30	.023	.005	1.20	.54	10.8	1.6
B	.12	.27	1.05	.014	.014	.30	.018	.004	1.35	.65	13.8	1.9
C	.12	.25	1.22	.012	.019	.20	.036	.	1.42	.70	13.5	1.9

Ze shora popsaných výsledků vyplývajících z obr. 2 a 3 je zřejmé, že rozsah obsahu Mn+Mo bude v % hmotnosti větší než 1,1 % a menší než 1,7 %, aby byly splněny podmínky kladené jak na pevnost v tahu, tak i na vrubovou houževnatost.

Z obr. 4 je také vidět, že S₁ je 50 sekund, S₂ je 9,8 sekund a S₃ je 1,4 sekund v případě, že obsah Mn+Mo je 1,1 hmot. %, a že S₁ je 95 sekund, S₂ je 20 sekund a S₃ je 2,8 sekund v případě, že obsah Mn+Mo je 1,7 hmot. %.

Ze shora uvedených výsledků vyplývá, že po zahřátí oceli podle vynálezu pod bod A₃ přeměny ocel se chladí z teploty 800 °C na 500 °C v době 3 až 50 sekund a dále že se plynule ochladí z teploty 500 °C na 200 °C v době delší než 20 sekund, čímž se dostane jemná bainitická struktura.

Tímto způsobem se tedy zpracuje ocel podle vynálezu, aby se získala jemná bainitická struktura o dostatečné pevnosti v tahu a o dostatečné vrubové houževnatosti.

V případě, že se požaduje vyšší vrubová houževnatost, pouštějte se ocel při teplotách 500° až 680 °C pod bodem přeměny A₁.

Nyní bude uvedeno několik příkladů provedených podle vynálezu.

V tabulce 3 jsou uvedena chemická složení, podmínky tepelného zpracování a mechanické vlastnosti oceli podle vynálezu.

Pracovní příklady tabulky 3 se vztahují na oceli podrobené tepelnému zpracování podle vynálezu bez pouštění, přičemž bylo možné dosáhnout vysoké pevnosti v tahu

Aby se shora uvedenými podmínkami chlazení dospělo k jemné bainitické struktuře, je třeba provádět chlazení z 800 °C na 500 °C v rozmezí od S₃ sekund do S₁ sekund a potom chlazení od 500 °C na 200 °C je třeba provádět ve víc než S₂ sekundách.

Tyto kritické doby chlazení se budou ovšem měnit s různým složením oceli.

Tabulka 2 znázorňuje složení různých ocelí podle vynálezu, jakož i hodnoty pro S₁, S₂ a S₃ sekund, získané z diagramu CCT po tepelném zpracování na 900 °C.

Obr. 4 znázorňuje vztah mezi složením oceli a časovými hodnotami S₁, S₂ a S₃, přičemž úsečka nese v lineárních dílcích v hmotnostních % množství Mn + Mo jako parametr pro složení oceli a pořadnice nese v sekundách při logaritmickém dělení hodnoty S₁, S₂ a S₃, čímž je stanoven vztah mezi Mn + Mo v hmotnostních % a mezi S₁, S₂ a S₃.

o hodnotě vyšší než 680 MPa pouze na základě složení oceli zpracované podle vynálezu.

Pracovní příklady tabulky 4 se týkají ocelí podrobené chladicímu zpracování podle vynálezu, za kterým následuje popouštění.

Jak je z těchto příkladů patrné, lze pouštěním značně zvýšit vrubovou houževnatost.

Obr. 5 znázorňuje vztah mezi C ekv. a mezi průtažnosti, pevností v tahu, a průtažným poměrem pro ocel podle vynálezu.

V tomto grafu jsou na úsečce naneseny hodnoty C ekv. v % a na pořadnici hodnoty meze průtažnosti, pevnosti v tahu a průtažného poměru v MPa, čímž je objasněn vztah těchto hodnot a provedeno srovnání s ocelí o vysoké pevnosti v tahu při použití obvyklého postupu kalení a popouštění.

Křivka 1 znázorňuje mez průtažnosti, křivka 2 pevnost v tahu a křivka 3 průtažný poměr oceli podle vynálezu, kdežto křivka 1' znázorňuje mez průtažnosti, 2' pevnost v tahu, 3' průtažný poměr oceli obvyklého typu popsané v tabulce 1.

Z tohoto vztahu pro stejnou hodnotu C ekv. jednoznačně vyplývá, že ocel podle vynálezu má vyšší mez průtažnosti a vyšší pevnost v tahu a nižší průtažný poměr než ocel běžného typu. To znamená, že pro stejný stupeň pevnosti jeví ocel podle vynálezu menší sklon k tvrdnutí pásmu zasaženého svárcem teplem, nižší citlivost k tvoření prasklin ve svaru a lepší svařitelnost než oceli běžného typu.

Nízká hodnota průtažného poměru oceli podle vynálezu vysvětluje její odolnost proti soustředěnému namáhání, dosažitelnost nízké procentové hodnoty bezpečnosti a možnost vyššího namáhání než pro jiné oceli běžného typu.

Tabulka 5 ukazuje vysokou tvrdost pásma zasaženého svárcím teplem pro ocel B a procento trhlin v kořenu svaru při zkoušce omezené drážkou Y, ilustrované v tabulce 3.

Z těchto výsledků je jasně patrné, že

ztvrditelnost pásmá zasaženého svárcím teplem je nízká pro pevnost větší než 680 MPa, a že se nevytváří vůbec žádná prasklina ve svaru bez předeňští při použití obvyklého svařovacího postupu s krycím obroukem.

Obr. 6 znázorňuje mikrofotografii oceli B uvedené v tabulce 3, v 500násobném zvětšení, z čehož je patrné, že mikrostruktura oceli s vysokou pevností v tahu podle výnálezu je jemná bainitická struktura.

Tabulka 3

značka oceli	C	Si	Mn	P	S	Ni	Cr	Mo	V	Nb	B	Al	Ti	Cekv.
A	.13	.26	.90	.012	.016			.30				.023	.005	.37
B	.12	.27	1.05	.014	.014			.30				.018	.004	.38
C	.12	.25	1.22	.012	.019			.20				.036		.38
D	.13	.22	1.02	.014	.014			.29	.10			.024	.005	.39
E	.12	.19	.90	.014	.016			.32				.040		.36
F	.12	.24	1.12	.011	.018			.23		.036		.035		.37
G	.12	.24	1.02	.014	.015	1.16		.30				.016		.40
H	.12	.22	.95	.013	.013	1.09		.31				.004	.021	.39
I	.10	.21	.79	.012	.018	1.38		.19	.06	0.22		.002	.058	.12

Tabulka 3 — pokračování

značka oceli	T ¹⁾ (°C)	S _A ²⁾ (s)	S _B ³⁾ (s)	mez prů- tažnosti MPa	pevnost v tahu MPa	prodlou- žení ⁴⁾ (%)	kontrakce (%)	vrubová houževna- tost (J)
A	900	25	158	508	613	20,5 ⁶⁾	76,1	165
B	900	28	188	575	689	17,5 ⁶⁾	69,7	122
C	900	18	58	494	669	39,8 ⁵⁾	—	114
D	900	22	91	560	688	18,0 ⁶⁾	72,9	153
E	900	30	288	506	649	16,0 ⁶⁾	71,9	128
F	900	20	82	586	711	17,5 ⁶⁾	69,5	138
G	900	26	110	637	766	18,5 ⁶⁾	68,6	113
H	900	35	121	630	763	14,5 ⁶⁾	70,8	144
I	900	38	320	667	809	16,2 ⁶⁾	67,8	106

1) T: teplota austenitizace, 2) S_A: doba ochlazení s 800° na 500 °C, 3) S_B: doba ochlazení s 500° na 200 °C, 4) délka vzorku = 50 mm, přitom sub ⁵⁾ v témže sloupci jsou uvedeny hodnoty pro vzorek pro zkoušku tahem v podobě desky o tloušťce 20 mm, a sub ⁶⁾ hodnoty pro vzorek pro zkoušku tahem o průměru 10 mm.

Tabulka 4

značka	C	Si	Mn	P	S	Mo	V
B	.12	.27	1.05	.014	.014	.30	
D	.13	.22	1.02	.014	.014	.29	.10
značka	A1	Ti	Cekv	T ¹⁾ [°C]	S _A (s)	S _B (s)	
B	.018	.004	.38	900	28	188	
D	.024	.005	.39	900	22	91	
značka	popouštění teplota	mez průtažnosti MPa	pevnost v tahu MPa	prodloužení (%)	kontrakce (%)	vrubová houževna- tost (J)	
B	650	539	665	21,0	68,6	249	
D	590	525	639	20,0	67,5	164	

1) T: teplota austenitizace, 2) S_A: doba chlazení od 800 na 500 °C, 3) S_B: doba chlazení s 500 na 200 °C.

Tabulka 5

značka	Cekv	mez průtažnosti MPa	pevnost v tahu MPa	prodloužení (%)	kontrakce (%)	maxim. tvrdost v pásmu zasa- ženém svařo- cím teplem Hv
B	.38	575	689	17,5	69,7	268
pokračování tabulky 5						
značka		procento prasknutí svaru při zkoušce omezené drážkou Y			předeheřivací teplota zamezení prasknutí kořene svaru	
	bez předeheření	50 °C	100 °C			
B	0	0	0		teplota místnosti	

PŘEDMET VÝNALEZU

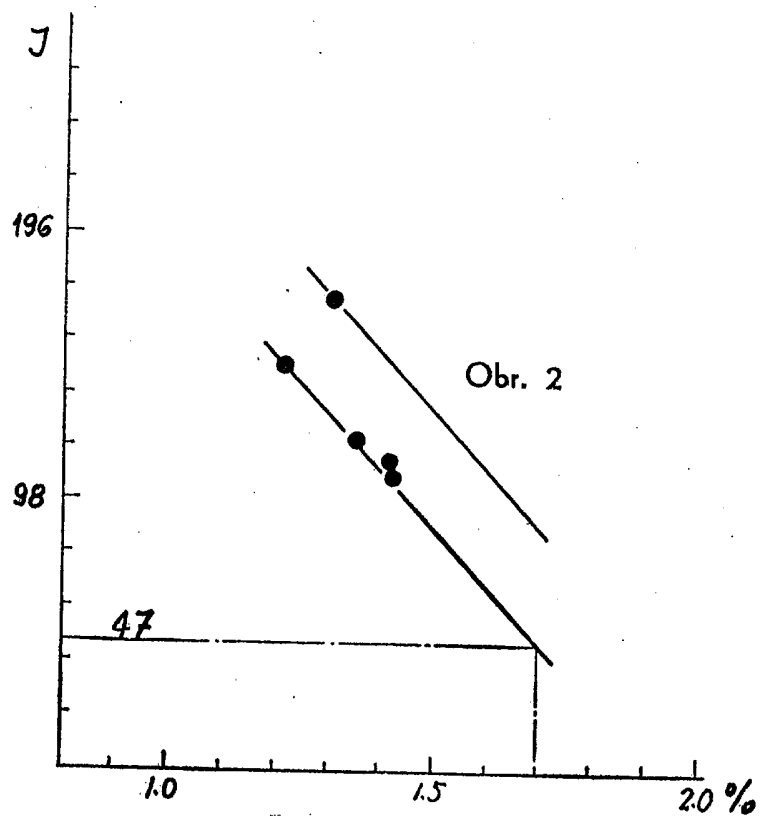
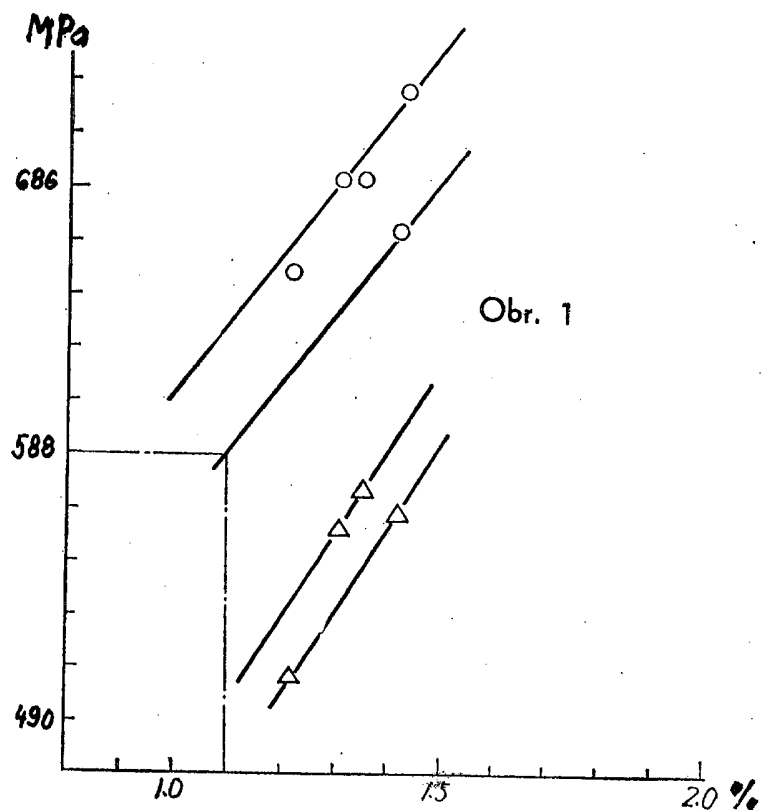
1. Způsob tepelného zpracování svařitelných konstrukčních ocelí o vysoké pevnosti v tahu, o složení 0,05 až 0,15 hmotnostních proc. uhlíku, 0,05 až 0,6 hmotnostních % křemíku, 0,5 až 1,4 hmotnostních % mangani, 0,1 až 0,8 hmotnostních % molybdenu, přičemž obsah mangani a molybdenu je v rozmezí 1,1 až 1,7 hmotnostních %, a které dále obsahují 0,01 až 0,09 hmotnostních % hliníku a 0,001 až 0,15 hmotnostních % titanu, jednotlivě nebo ve vzájemné kombinaci, a dále obsahují stopy až 2,0 hmotnostních % niklu, stopy až 0,12 hmotnostních %

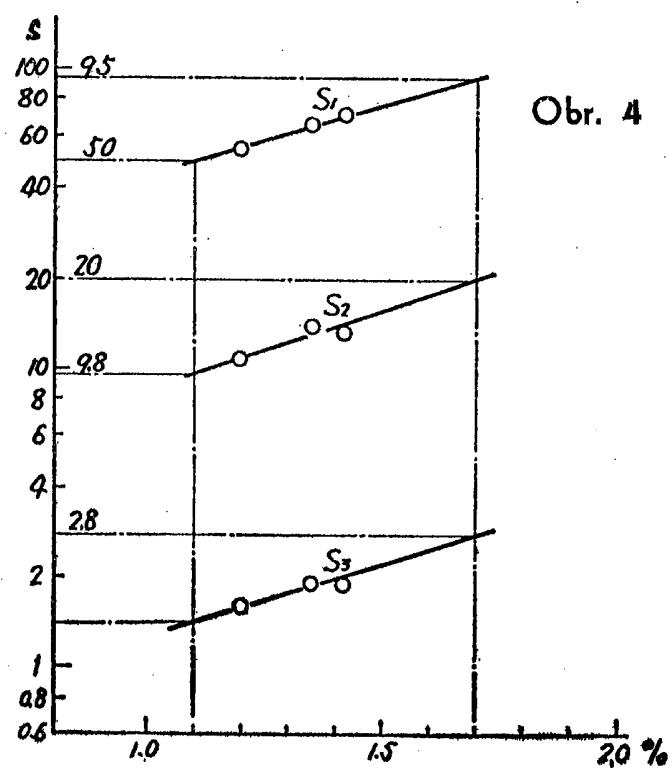
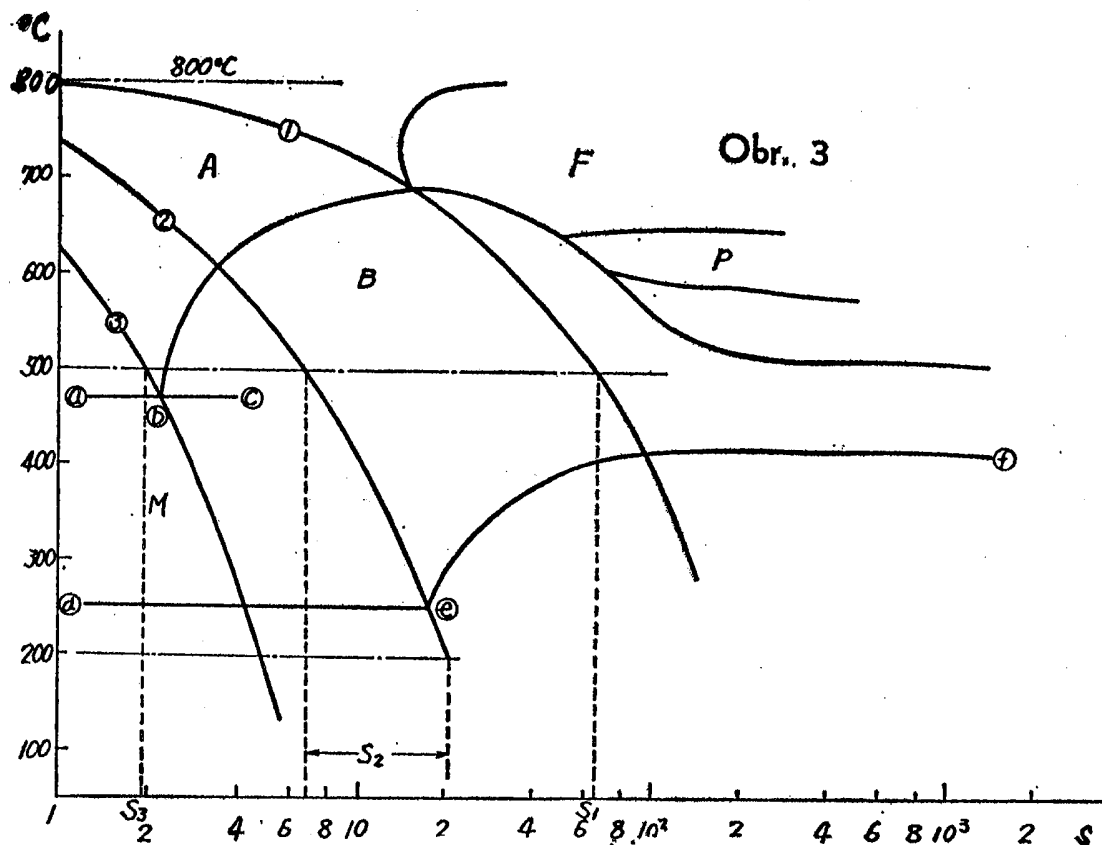
vanadu, stopy až 0,04 hmotnostních % níobi, stopy až 0,005 hmotnostních % boru, jednotlivě nebo ve vzájemné kombinaci, zbytek železo a nečistoty z tavení, vyznačující se tím, že ocel se zahřívá na teplotu 850 až 980 °C nad bodem přeměny A₃, ochladí se v časovém období 3 až 50 sekund s teploty 800 na 500 °C a potom se po dobu nejméně 20 sekund, maximálně 600 sekund, plynule chladí s teploty 500 na 200 °C.

2. Způsob podle bodu 1 vyznačující se tím, že se ocel pak popouští při teplotách 500 až 680 °C pod bodem přeměny A₁.

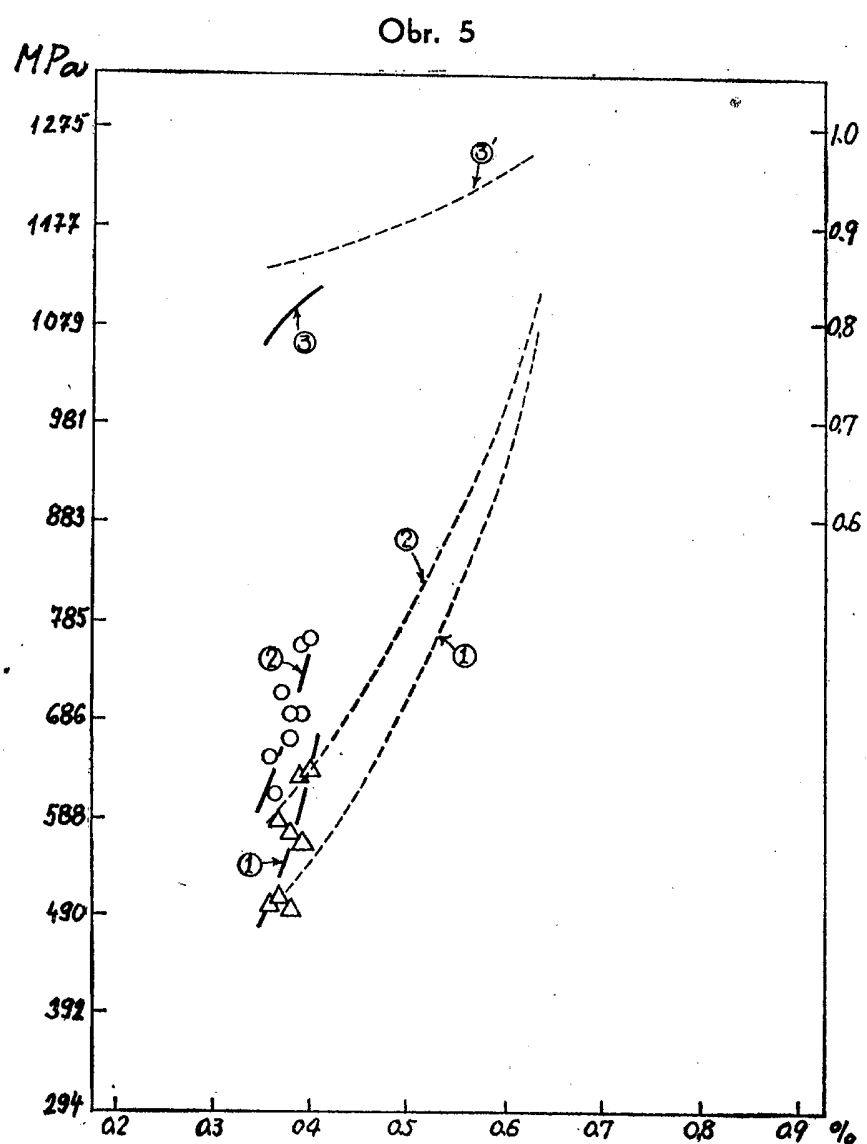
3 listy výkresů

196235





196235



Obr. 6

